

京大工研 正員 ○高橋幹二, 京大工 畠原三紀夫

エアロゾル粒子は、発生から消滅にいたる過程で、まよう集、沈着、拡散などの効果により粒度分布が変化する。こゝでは、粒度分布変化に関するいくつかの法則性について、電子計算機による数値実験により若干の考察を試みる。

1. エアロゾル粒子の粒度分布函数の時間的変化は次式で表わされる。

$$\frac{dn(v,t)}{dt} = n_i(v,t) - \int_0^\infty \nu_i(v,v_i) dv_i + \frac{1}{2} \int_0^v \nu_i(v_i, v-v_i) dv_i \\ - U(v) \frac{dn(vt)}{dz} + D(v) \nabla^2 n(v,t) \quad (1)$$

こゝに、 $n(v,t)$ は体積 v の粒子の時間 t における粒子数濃度、すなはち $\phi(t)$ は、オレ噴からそれぞれ発生、まよう集による損失、まよう集による生成、沈降、拡散に関する項である。さらに、全粒子数濃度、体積濃度はそれぞれ次式で表わされる。

$$N(t) = \int_0^\infty n(v,t) dv \quad (2) \quad \phi(t) = \int_0^\infty v \cdot n(v,t) dv \quad (3)$$

2. 計算条件および計算式

A: Brown運動によるまよう集のみを考慮したとき、本辯はオレ、3項のみで表され次式で計算する。

$$\nu_B(v, v_i) = \frac{2 \pi k T}{3 \mu} \left(\frac{v^{1/3} + Al}{v_i^{1/3}} \right) \left(\frac{v_i^{1/3} + Al}{v^{1/3}} \right) (v^{1/3} + v_i^{1/3}) n(v) n(v_i) \quad (4)$$

B: 亂流場でのまよう集のみによる場合（重力沈降も考慮）

$$\nu_T(v, v_i) = \left\{ 1.30 (v_i^{1/3} + v^{1/3})^3 \left(\frac{\rho_0}{\rho} \right)^{1/2} + 2\sqrt{\pi} (v^{1/3} + v_i^{1/3})^2 |\beta(v) - \beta(v_i)| \left(1 - \frac{\rho}{\rho_p} \right) \times \right. \\ \left. [1.3 \rho_0^{3/2} v^{1/2} + g^{2/3}]^{1/2} \right\} n(v) n(v_i) \quad (5)$$

C: 亂流場でのまよう集と巻着壁への沈降沈着を考慮したとき：(1)式本辯が5項が加わる。これである条件のもとに解いて、オレ5項の代りに次式をうる。

$$-\alpha n(v,t) = \frac{U(v)}{H} \coth \left(\frac{U(v) \cdot H}{4\sqrt{R_e D}} \right) + \frac{4}{\pi R} \sqrt{K_e D} \quad (6)$$

初期粒度分布は单分散の場合と対数正規分布の場合の2種、粒径（半径平均径）は $0.1 \sim 1.0 \mu$ 、対数標準偏差 $\log \sigma_g = 0.05$ 、また乱流度は $\rho_0 = 10^3 \sim 10^4 \text{ cm}^2/\text{sec}^2$ について計算して。

3. 粒度分布函数にあらわす種の次元表示法と併せて、等方性乱流の場合の速度変動エネルギーベクトルの場合と同様に、粒度分布函数についてても自己保存則が成立し

$$n(v,t) = g(t) \cdot \psi(\eta) \quad (7)$$

であるから、まよう集の普遍平衡則が存在するものとする。こゝに η は無次元量であるが、 $g(t)$ で

ここで時間に無関係、時間のみの函数であり

$$g(t) = \frac{(N(t))^2}{\phi(t)} \left(\frac{V}{V_c} \right) \quad (8)$$

$$\Psi(\eta) = \Psi \left(\frac{V}{V_c} \right) \quad (9)$$

である。 V_c は体積の単位をもつある基準量で時間の函数であるが、平均体積 \bar{V} を用いてはある条件のもとで(9)式がなり立つことを知られてる。

4. 2で述べた諸条件について粒度分布変化を求める。すな(9)式で表わされる平衡商数を計算して結果までの結論を立てて。すなから統計的にいえよしとは、①まず粒度分布そのものについては；粗粒紙にスコットすると、粒度の大きさの割の色経緯はまづ直線となし(Fig. 1)，その傾斜はさうより基の2の場合-2.1～-2.2、沈着のある場合は-3.2である。このことは時間が十分大きくなると粒度の大さり側の分布曲線は $\eta(V) = C V^{-\alpha}$ (表わす中、 α が上述の値となることを示して)。またこれらは傾向は初期粒度分布のそれと同様であり。②平衡商数については、さうう集の2の場合($\phi = \text{const.}$)ではなく、沈着のある場合にも存在し(Fig. 2)，その形は対数正規分布に近い。すなこの函数形も初期条件に依存せり。

記号

A : フラックスガム補正係数, D : 粒子の拡散係数, H : 告者の高さ, K : Boltzmann定数, K_0 ($= \infty$ 程度): κ : Karman定数, L : ガス分子の平均自由行程, R : 告者の半径, T : 空気の絶対温度, g : 重力加速度, E_0 : 空気等価質量あたりのエネルギー消費量, u : 実気

の粘性係数, λ : 動粘性係数, U_C , U_B , U_f : 単位体積、单位時間当たり粒子の衝突の確率, P : 空気の密度, P_p : 粒子の密度, τ : 粒子のrelaxation Time, C : $24cNT$, a : 沈降速度

付記：数値計算は京大ふとび東大大型電子計算機によること。

Fig. 1 Change of Particle Size Distribution by Brownian Motion

Case A-1. Polydisperse
 $\bar{V} = 0.1 \mu$
 $\log \eta_g = 0.05$

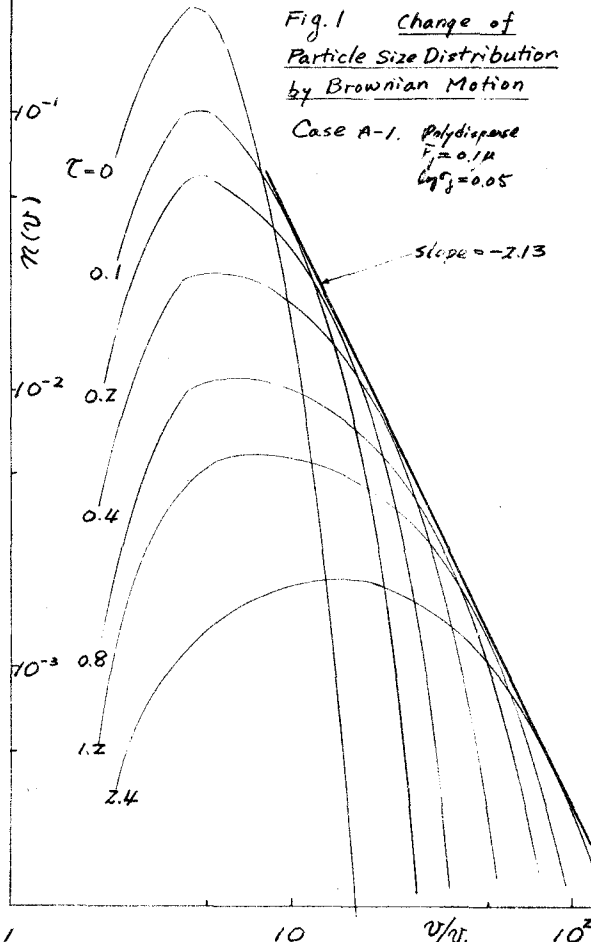


Fig. 2

Self-Preserving Function

Case C-1
 Polydisperse
 $\bar{V} = 0.1 \mu$
 $\log \eta_g = 0.05$
 $H=R=40cm$
 $c_0 = 10^3 cm^{-3}$

